

VIGILANCIA SINÓPTICA DE SUDAMÉRICA

JULIO 2021

RESUMEN MENSUAL

Fig. 1

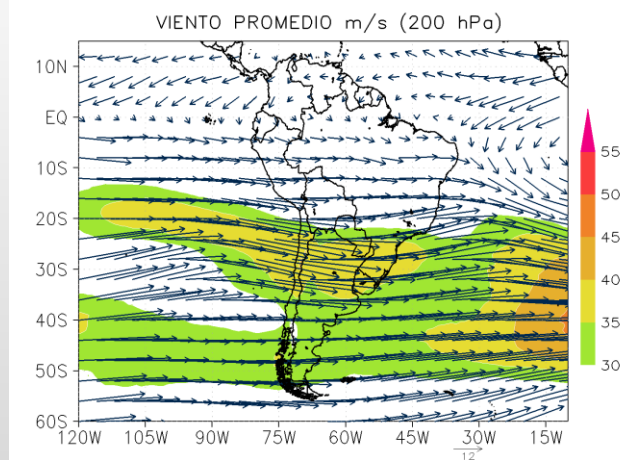


Fig. 2

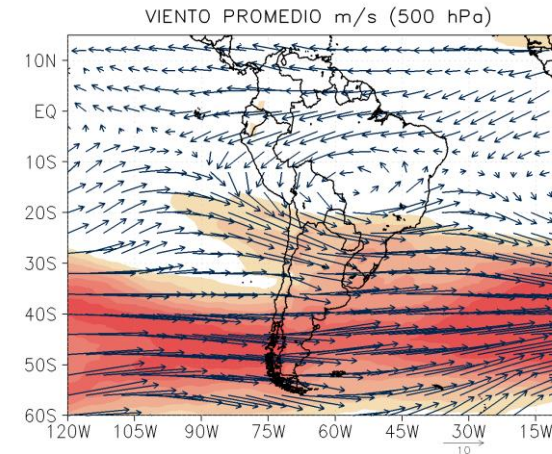
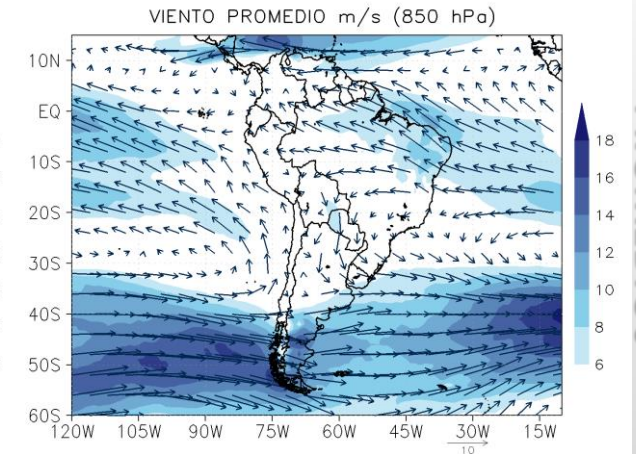


Fig. 3



En **niveles altos**, predominó la incursión de vientos del oeste, que tuvo como resultado la presencia de anomalías negativas de precipitación en dicha región. Por otro lado, dominó la Corriente en Chorro Subtropical entre los 20 y 30°S, sobre el continente, lo que permite una intensificación de los movimientos verticales debido a la circulación ageostrófica presente.

En el promedio de viento de **niveles medios**, en latitudes tropicales dominó el flujo del este cerca al ecuador y más al sur se observó la presencia de una circulación anticiclónica sobre Brasil. En latitudes medias por otro lado predominó el ingreso de sistemas de vaguada desde el océano Pacífico.

En **niveles bajos**, el Anticiclón del Pacífico Sur (APS) presentó valores de presión por encima de su normal, así como una configuración zonal y un núcleo extendido a lo largo del Pacífico. Asimismo, el Anticiclón del Atlántico Sur (AAS) presentó valores por encima de su normal, el AAS se extiende hasta el continente, sin embargo su núcleo se encuentra alejado del mismo. La Zona de convergencia intertropical (ZCIT) se encuentra desplazada hacia el hemisferio norte, con influencia sobre Venezuela, donde se presentan anomalías positivas de precipitación, a diferencia del resto del continente, condición que es beneficiada también por la confluencia de vientos del sureste al noreste de Brasil que se extienden hacia Venezuela, donde confluyen con vientos del noreste.

Fig. 4

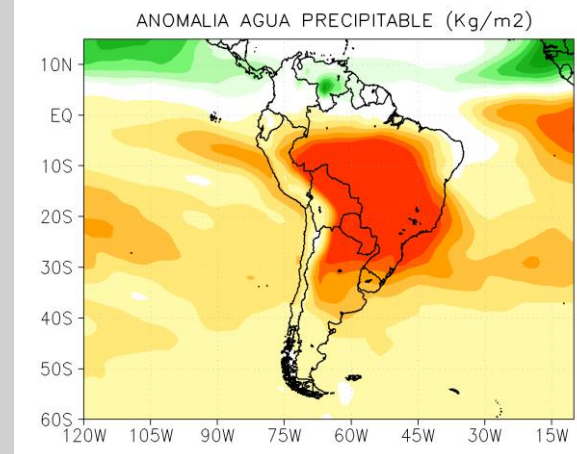
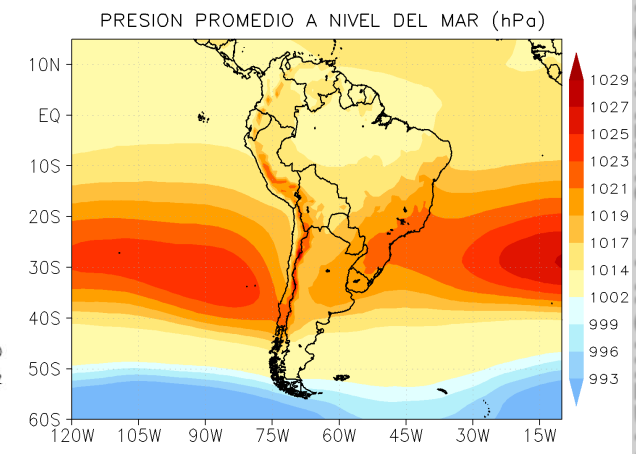


Fig. 5



PROMEDIOS

ANOMALÍAS Y PROMEDIOS

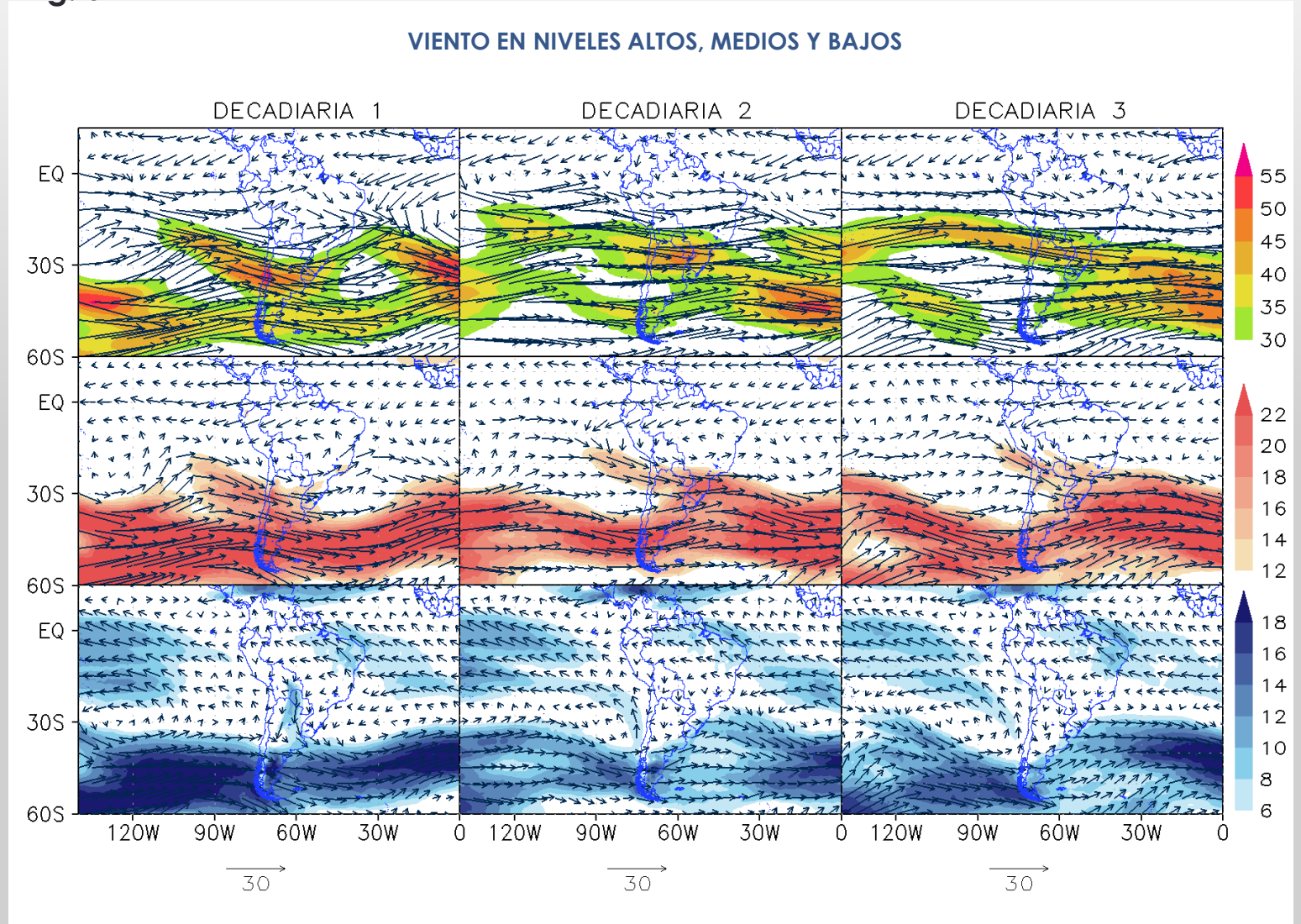
DECADIARIAS

Durante la **1ra decadiaria**, en niveles altos predominaron vientos del oeste y patrones de vaguada. En niveles medios se observó la presencia de una circulación anticiclónica en la frontera de Brasil con Bolivia, que favoreció el ingreso de vientos del este hacia el Perú. En niveles bajos se observó reforzamiento de los flujos sobre el noreste de Brasil así como sobre el centro-norte de Argentina.

Durante la **2da decadiaria**, en niveles altos prevalece el flujo del oeste, con una mayor componente zonal, especialmente sobre continente. En niveles medios la circulación anticiclónica adquirió una configuración más zonal, en tanto que el viento en general perdió intensidad. En niveles bajos el núcleo del APS se acercó a continente, favoreciendo el ingreso de vientos intensos en la costa oeste de Sudamérica; en latitudes bajas se intensificó la confluencia de vientos en Venezuela.

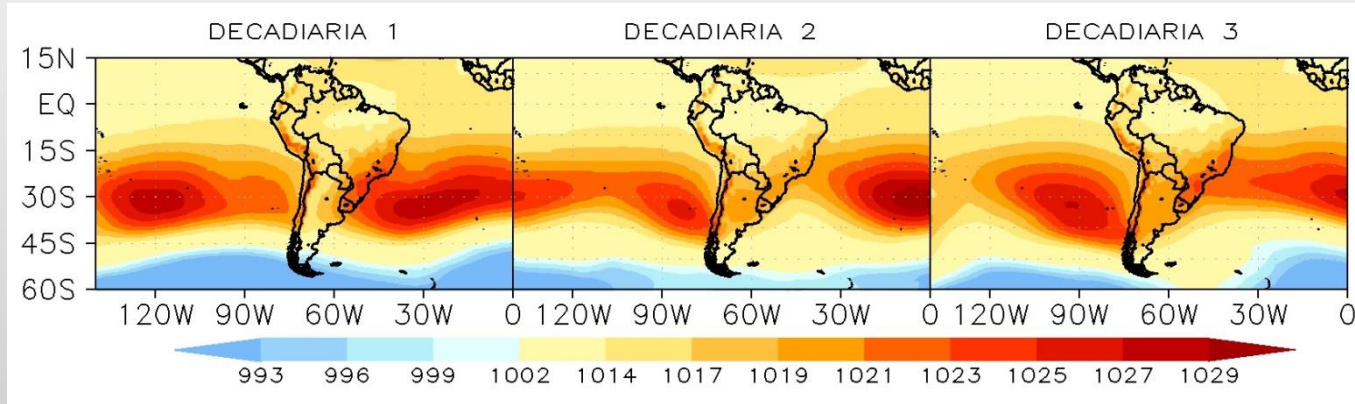
Durante la **3ra decadiaria**, en niveles altos se mantienen dominantes los vientos del oeste. En niveles medios no se observaron cambios con respecto a la decadiaria anterior. En niveles bajos se intensificó el APS, sin embargo este se alejó ligeramente del continente.

Fig. 6



PRESIÓN REDUCIDA A NIVEL DEL MAR

Fig. 7

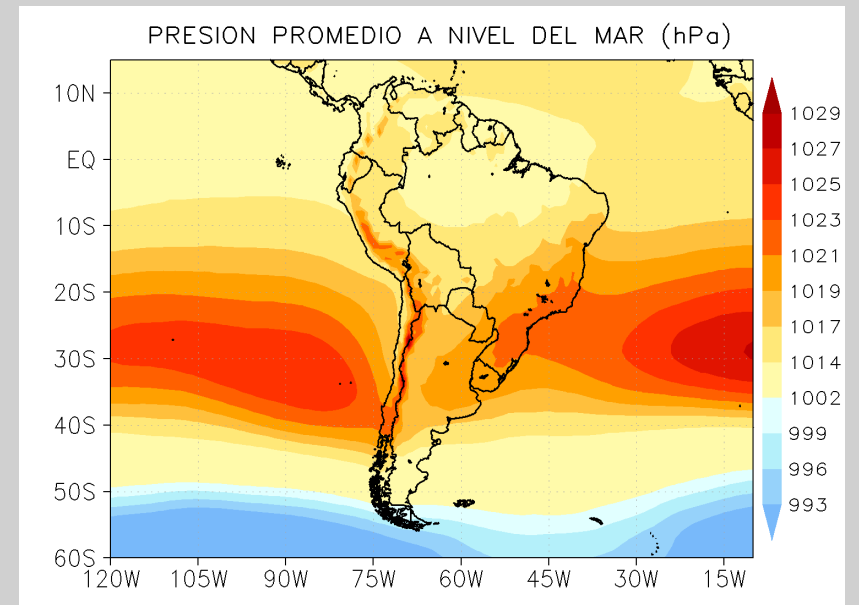


En la **primera decadiaria**, el Anticiclón del Pacífico Sur (APS) presentó valores por encima de su normal, con una configuración zonal, en tanto que el Anticiclón del Atlántico Sur (AAS) se presentó al oeste de su posición normal y con un núcleo con valores dentro de su normal.

En la **segunda decadiaria**, el APS se debilitó y presentó dos núcleos, uno de los cuales se acercó a continente; en tanto que el AAS se desplazó hacia el este y se intensificó.

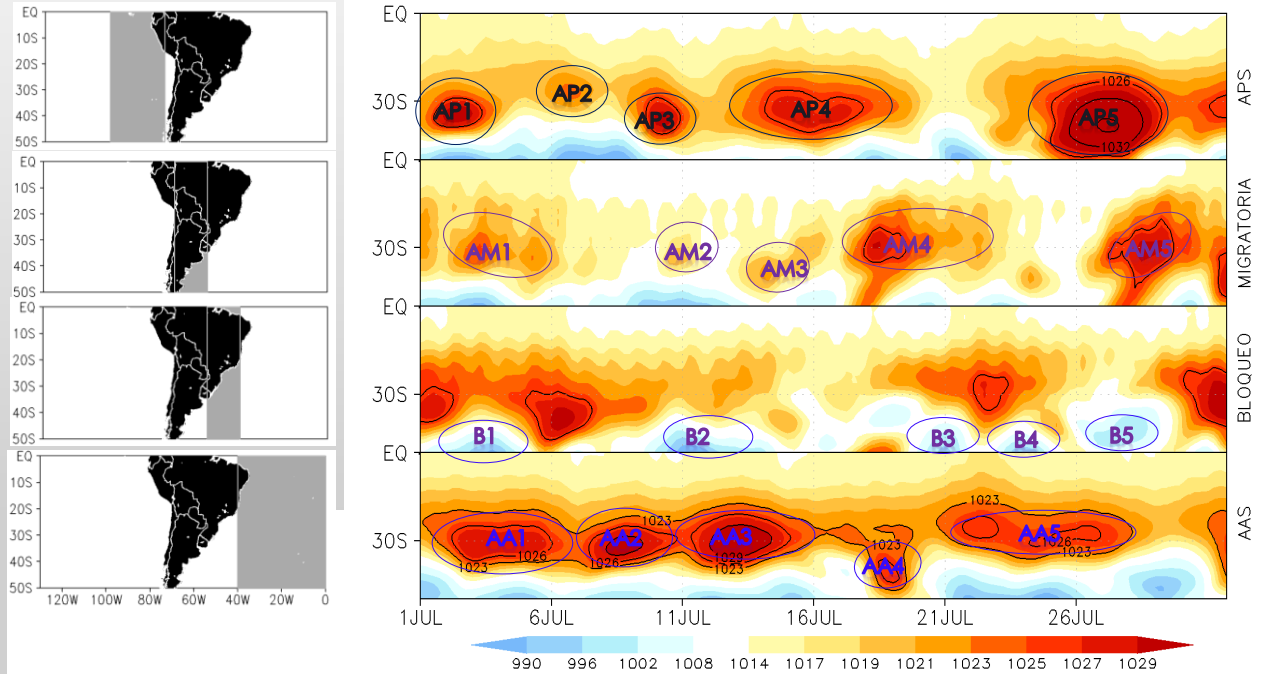
En la **tercera decadiaria**, el APS se presentó valores por encima de su normal con una configuración ligeramente más meridional, en tanto que el AAS se continuó alejando de continente y se debilitó ligeramente.

Fig. 8



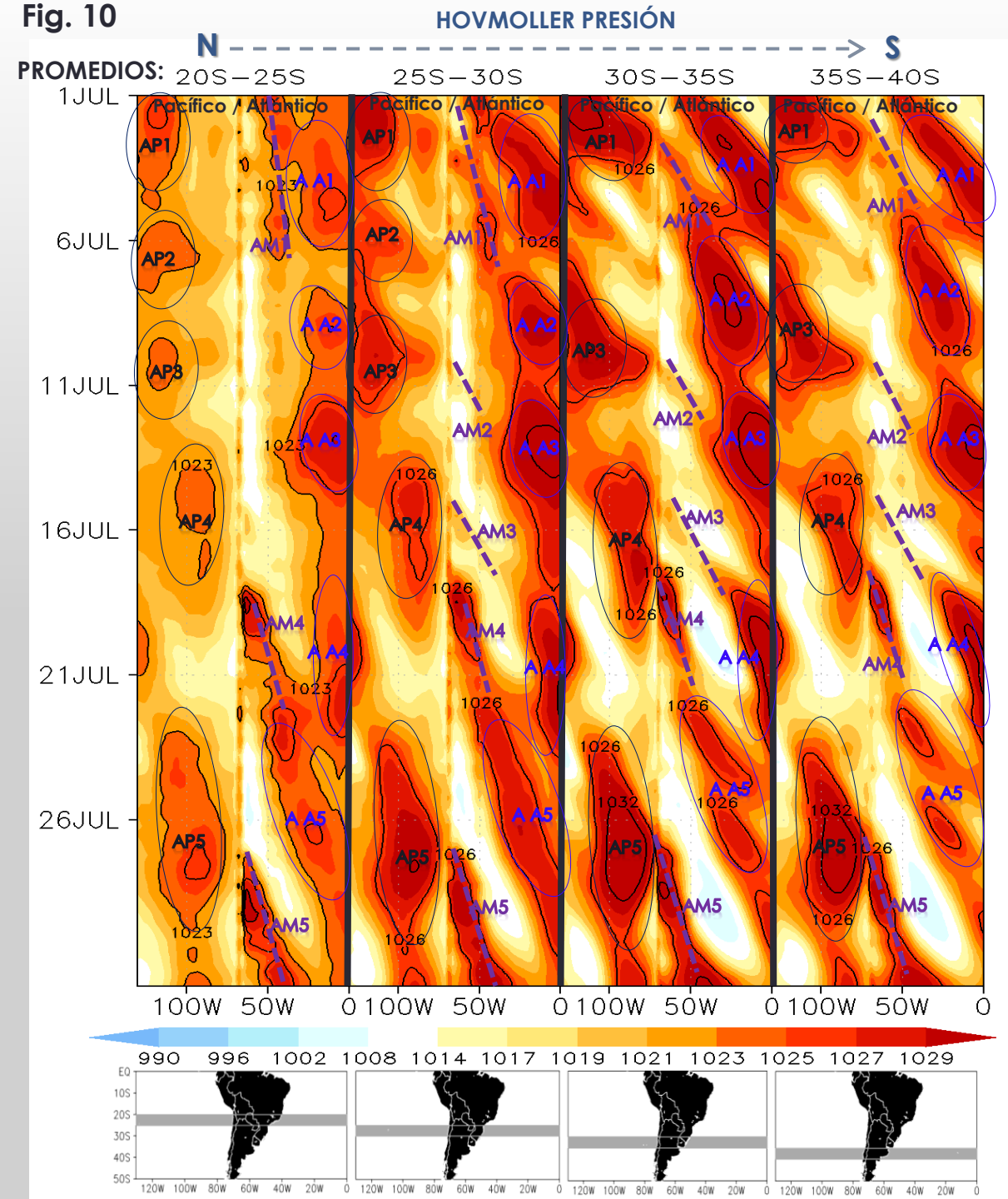
HOVMOLLER PRESIÓN

Fig. 9



En el mes de julio, se observaron 5 núcleos del APS, siendo el más intenso el que se presentó durante la tercera decadiaria, con valores superiores a los 1035 hPa. Por otro lado, se observaron 5 núcleos del AAS, el más intenso se registró durante la segunda decadiaria, con valores superiores a los 1029 hPa. Además, se presentaron 5 altas migratorias (AM), tres de ellas asociadas a friajes.

Fig. 10

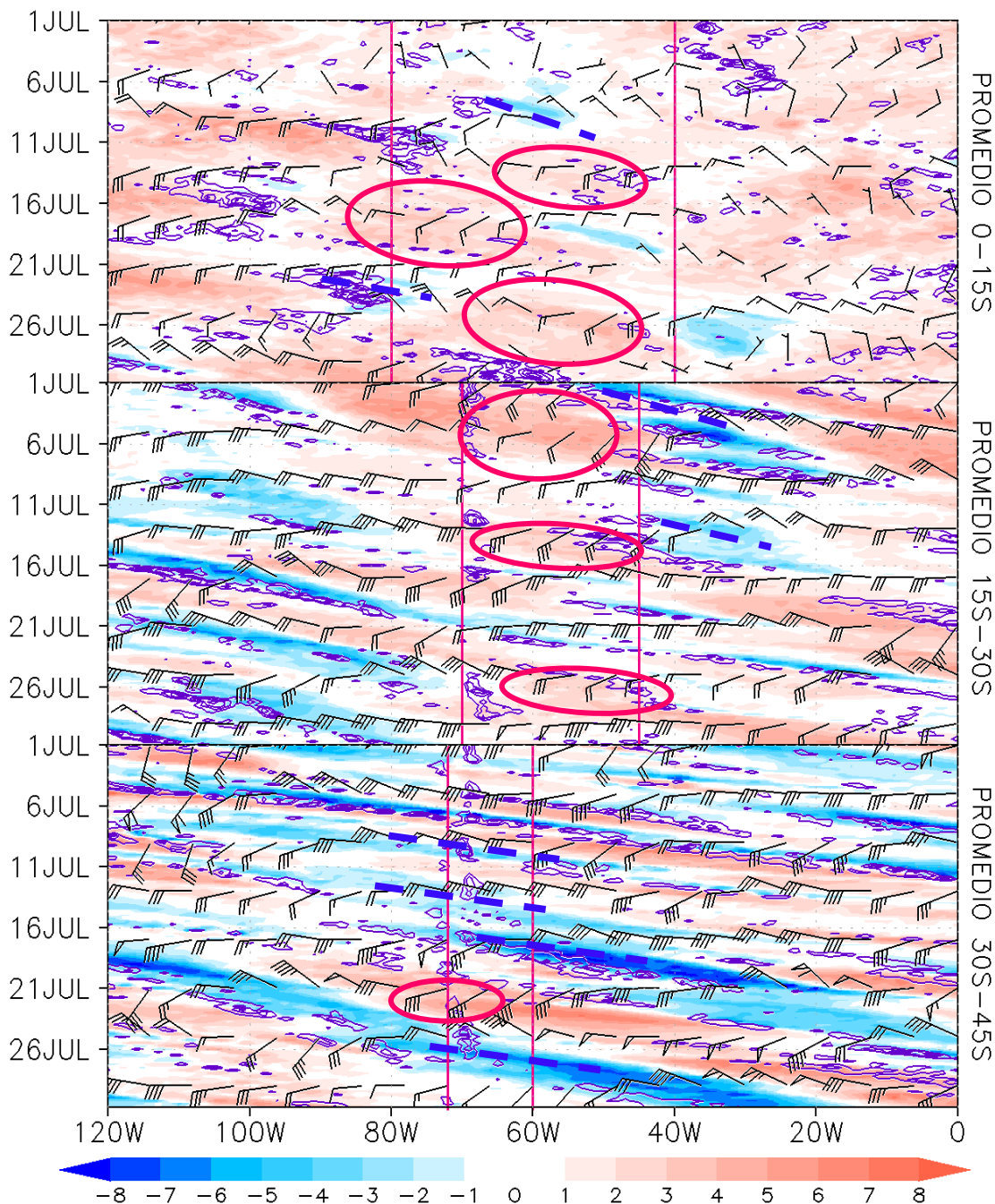


NIVELES ALTOS

- En latitudes tropicales (0-15°S), durante la primera decadiaria se observó el ingreso de vaguadas, el resto del mes dominó el flujo del oeste sobre continente, factor que propició anomalías negativas de precipitación en la región.
- En latitudes entre 15 y 30°S dominaron los patrones de dorsal la primera mitad del mes, posteriormente se observó una prevalencia de un flujo zonal del oeste.
- En latitudes mayores (30-45°S), se observó una predominancia de circulaciones ciclónicas durante todo el periodo, por otro lado, durante la primera decadiaria la corriente en chorro presentó una mayor intensificación, condición que permite mayores movimientos verticales debido a las circulaciones ageostróficas presentes.

Fig. 11

HOVMOLLER VORTICIDAD RELATIVA (sombreado) Y VIENTO (barbas) EN 200 hPa

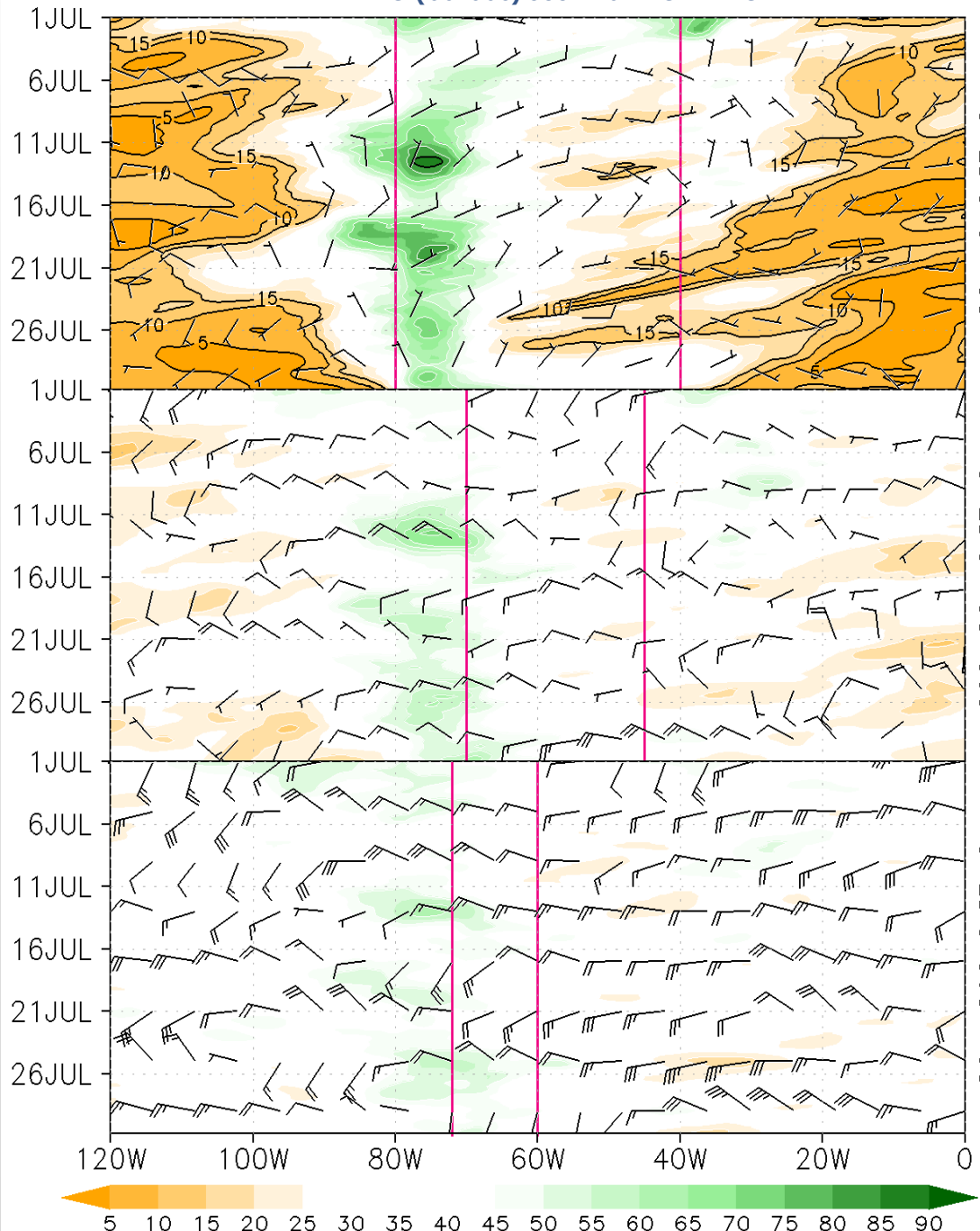


— VAGUAGA
— DORSAL

NIVELES MEDIOS

- En latitudes tropicales (0-15°S), se observa el mayor nivel de humedad durante la segunda decadiaria, asociado al ingreso de vientos del noreste. A lo largo de todo el periodo la humedad se encuentra concentrada en el lado oeste del continente.
- En la zona central de Sudamérica (15-30°S) así como en latitudes extratropicales (30-45°S), se observó el mayor nivel de humedad durante la segunda decadiaria, sin embargo, en general las condiciones se mantuvieron secas durante el mes.

Fig. 12 HOVMOLLER HUMEDAD RELATIVA PROMEDIO 500-600 (sombreado) Y VIENTO (barbas) 500 hPa PROMEDIO



NIVELES BAJOS

- En latitudes cercanas al Ecuador, se observó valores de relación de mezcla alrededor de los 12 g/Kg durante la segunda decadiaria principalmente y en menor medida en la tercera decadiaria, asociada a intensificación de vientos con mayor componente este.
- En latitudes entre 15-30°S, se presentó los mayores valores de relación de mezcla (mayores a 9 g/Kg) durante la primera y segunda decadiaria.
- En latitudes extratropicales (30-45°S), se observó los mayores valores de relación de mezcla superiores a 5 g/Kg durante la primera decadiaria hacia el este del continente.

Fig. 13 HOVMOLLER RELACIÓN DE MEZCLA (g/kg) (shaded) Y VIENTO (barbas) 925 hPa PROMEDIO (barbas) 925 hPa PROMEDIO

